



**IMARPE**  
INSTITUTO DEL MAR DEL PERÚ

**SIOFEN** SERVICIO DE INFORMACIÓN OCEANOGRÁFICA  
DEL FENÓMENO EL NIÑO

# Boletín Semanal Oceanográfico y Biológico-Pesquero

Año 11, N° 05

Semana 05: 26 de enero - 01 de febrero de 2026

## RESUMEN

» La temperatura superficial del mar (TSM) en la región Niño 3.4 mantuvo una anomalía promedio de  $-0,5\text{ }^{\circ}\text{C}$ , mientras que, en la región Niño 1+2, la anomalía evidenció un leve ascenso a  $+0,17\text{ }^{\circ}\text{C}$ , asociado a una mayor proyección de las aguas con TSM entre  $23\text{ y }25\text{ }^{\circ}\text{C}$  desde la costa norte hacia el noroeste y desde el sector costero al norte de Huarney hacia el oeste (Figura 1). La influencia de las Aguas Ecuatoriales Superficiales (AES) al norte de Chicama disminuyó como resultado de un mayor afloramiento de las aguas costeras frías (ACF) (Figura 5), determinando anomalías térmicas predominantemente neutras a lo largo del litoral y con focos fríos localizados frente a Paita ( $-2,2\text{ }^{\circ}\text{C}$ ) y al sur de Bahía Independencia ( $-3,6\text{ }^{\circ}\text{C}$ ) (Figuras 4, 6d y 8b). Estas condiciones, estuvieron asociadas a vientos de moderados a fuertes en el sector oceánico al sur de Huarney con anomalías positivas de velocidad de viento (VV), extendiéndose inclusive cerca de Pisco; en concordancia con el desplazamiento del Anticiclón del Pacífico Sur (APS) hacia el oeste de su posición habitual (Figuras 2, 3 y 6c).

» La información *in situ*, sobre los 100 m y dentro de las 80 mn desde Paita a Huarney, indicó el predominio de condiciones frías con anomalías negativas de hasta  $-3\text{ }^{\circ}\text{C}$  frente a Paita (22,6 mn) y Chicama (35,8 mn). Hacia el sur, desde Callao a Camaná, persistieron condiciones cálidas en las capas más someras del sector oceánico por fuera de las 60 mn frente a Callao (69,8 mn), mientras que, cerca de la costa y hasta los 100 m se mantuvieron condiciones frías frente a Camaná (23,2 mn). Por debajo de los 200 m, se detectaron anomalías positivas de hasta  $+1\text{ }^{\circ}\text{C}$  frente a Paita, Chicama y Camaná (Figura 7).

» Esta semana, se dio por concluida la temporada de pesca de anchoveta en la región Norte-Centro, mediante la Resolución Ministerial N°0022-2026-PRODUCE efectiva a partir del 31 de enero. Por otro lado, en la región sur, se evidenció disponibilidad del recurso anchoveta entre Ilo y Morro Sama dentro de las 10 mn y con predominio de juveniles. La anomalía del factor de condición (AFC) de la anchoveta *Engraulis ringens* presentó un valor positivo de efecto moderado, lo cual indicó una condición somática superior a lo esperado para la temporada (Figura 8).

## PRONÓSTICO

» De acuerdo con el modelo MERCATOR, en la región Niño 1+2, se espera el incremento de las anomalías positivas de TSM hasta alcanzar  $+0,5\text{ }^{\circ}\text{C}$  el 11 de febrero (Figura 9).

» Del 03 al 08 de febrero del 2026, frente a la costa peruana y en el sector oceánico, se prevé un incremento progresivo de la VV, desde débil/moderada a moderada/fuerte, entre Paita y San Juan. Las anomalías negativas de VV persistirían en el sector oceánico y frente a la costa sur hasta el 05 de febrero, junto con anomalías positivas en la franja costera centro y norte. Luego, las anomalías positivas aumentarían a lo largo del litoral, extendiéndose hacia el sector oceánico central y sur (Figura 10).

» Las observaciones y los modelos anticipan el arribo inminente de una onda Kelvin cálida al litoral peruano, seguida de una onda Kelvin cálida (modo 1) y otra de modo 2 a la costa sudamericana en febrero/marzo y abril/mayo, respectivamente (Figuras 6 a, b, 11).



PERÚ

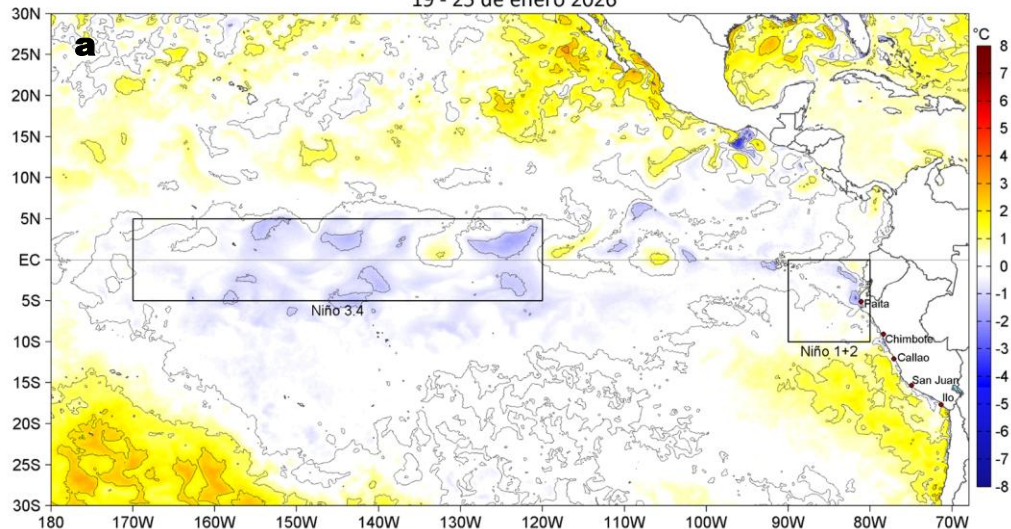
Ministerio  
de la Producción



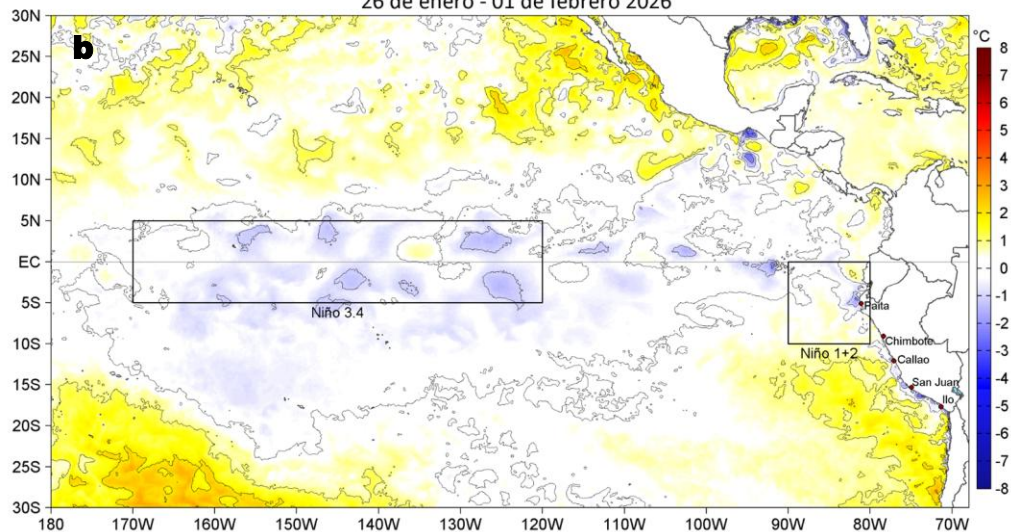
PREMIO 2018  
BUENAS PRÁCTICAS  
EN GESTIÓN PÚBLICA



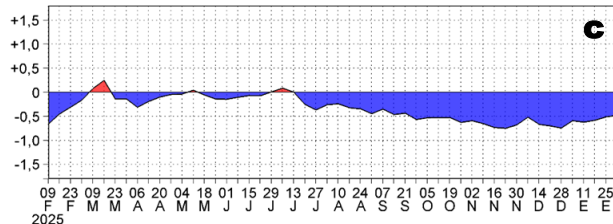
Anomalías de la Temperatura Superficial del Mar (°C)  
19 - 25 de enero 2026



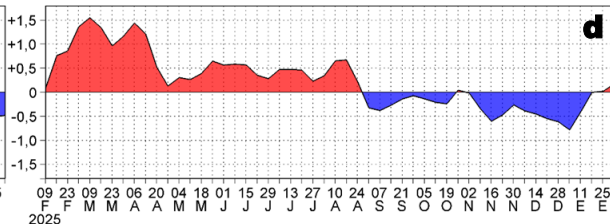
Anomalías de la Temperatura Superficial del Mar (°C)  
26 de enero - 01 de febrero 2026



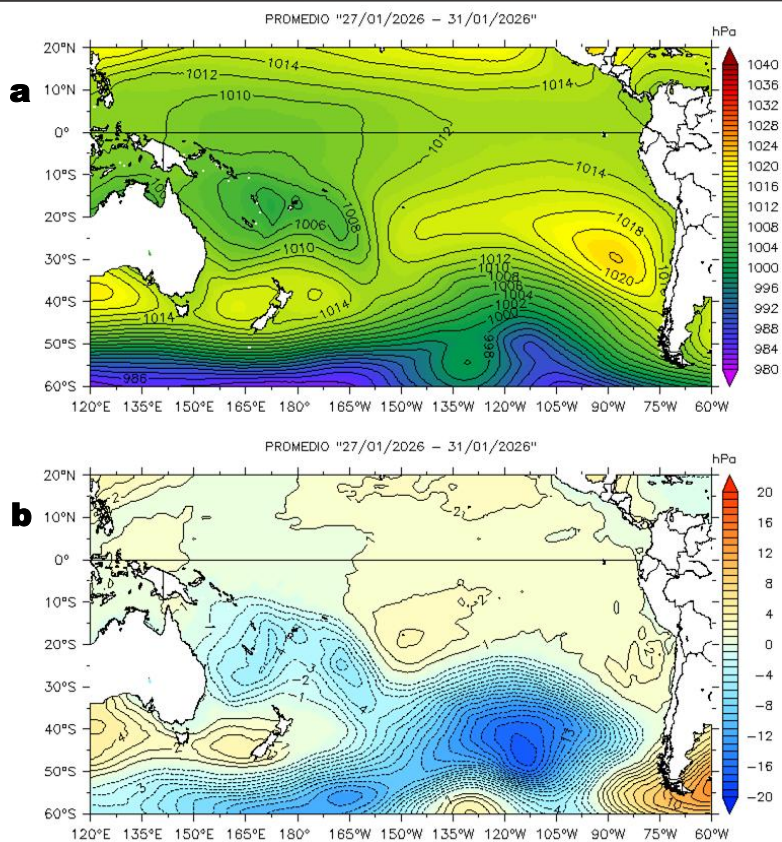
ATSM REGION NIÑO 3.4



ATSM REGION NIÑO 1+2



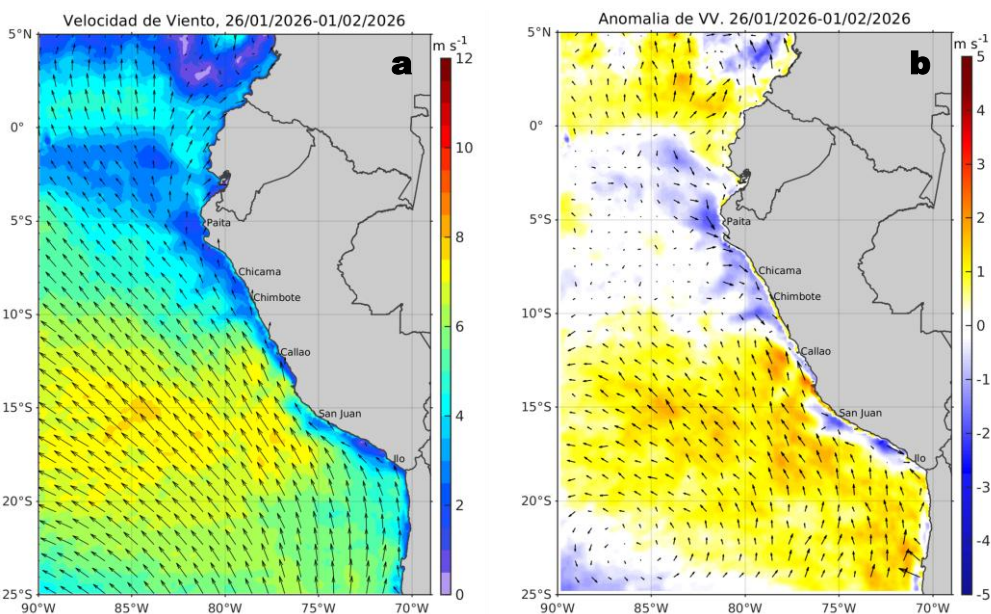
**Figura 1.** Anomalías promedio de la temperatura superficial del mar (TSM, °C) en el océano Pacífico tropical del 19 al 25 de enero (a) y del 26 de enero al 01 de febrero (b) del 2026, así como la variación del promedio semanal durante el último año para la región Niño 3.4 (c) y la región Niño 1+2 (d). Las regiones Niño 3.4 y Niño 1+2 en los sectores central y oriental del océano, respectivamente, están delimitadas con una línea de color gris. Datos: OSTIA-UKMO-L4-GLOB-v2.0 (UK Met Office, 2012; Donlon et al, 2012). Climatología: 1991-2020.



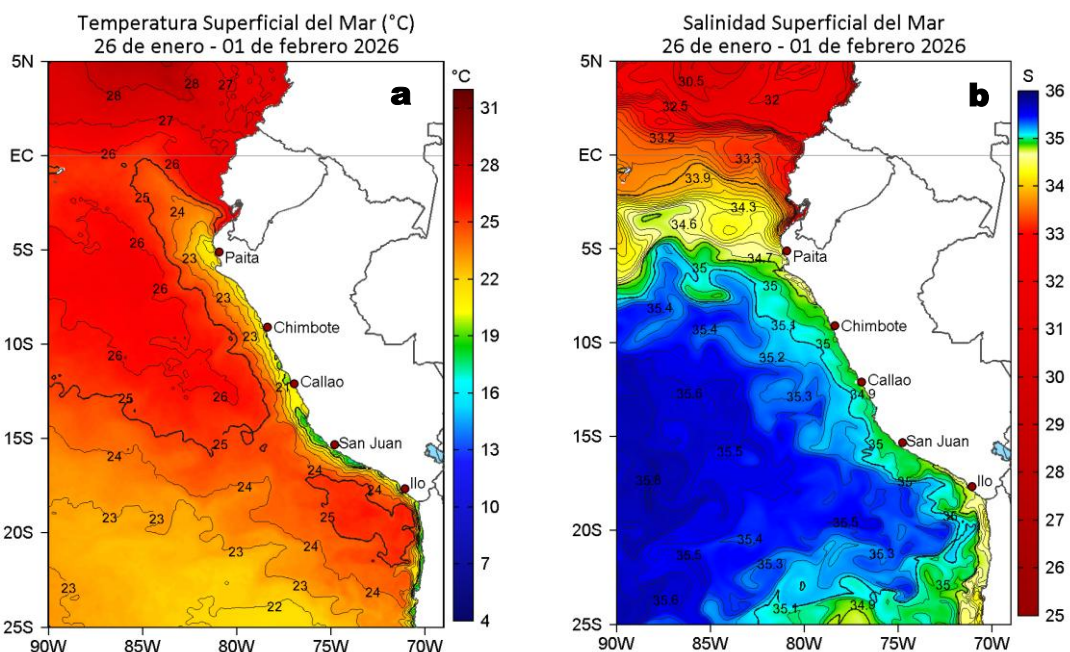
**Figura 2.** Distribución espacial promedio de la: a) Presión atmosférica (hPa) y b) anomalías de la Presión atmosférica (hPa) en el Pacífico Tropical del 27 al 31 de enero del 2026.

Fuente de los datos: NCEP/NOAA. Climatología: 1991-2020.

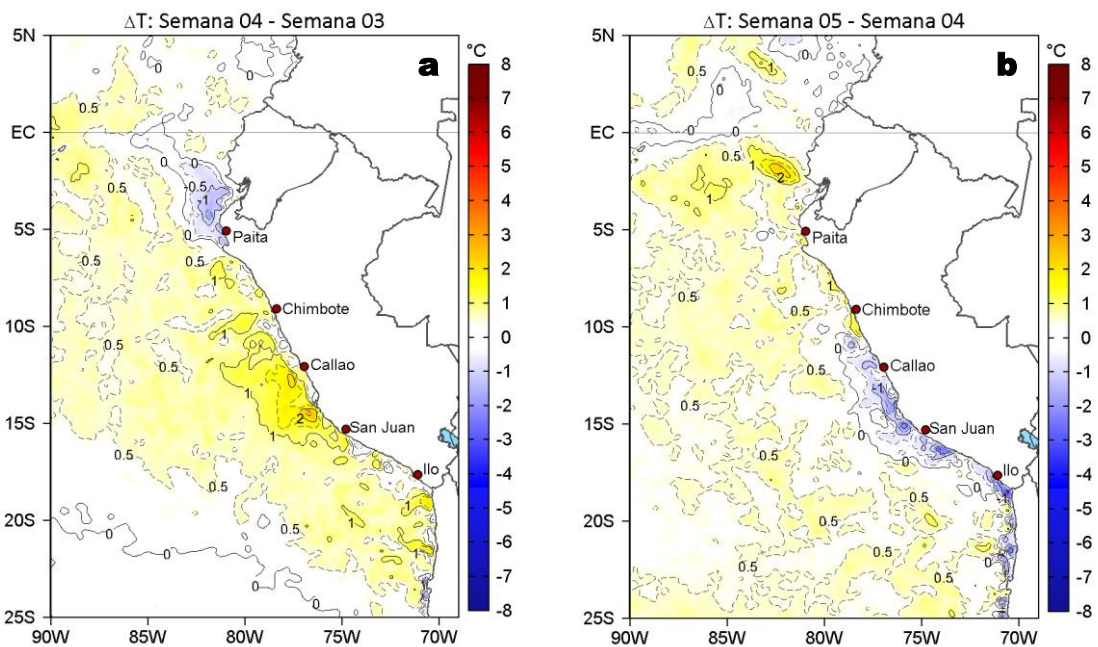
El Anticiclón del Pacífico Sur (APS) se encontró al oeste de su posición habitual (95°W-32.5°S), con un valor de 1021,4 hPa en su núcleo y una anomalía de -1,5 hPa.



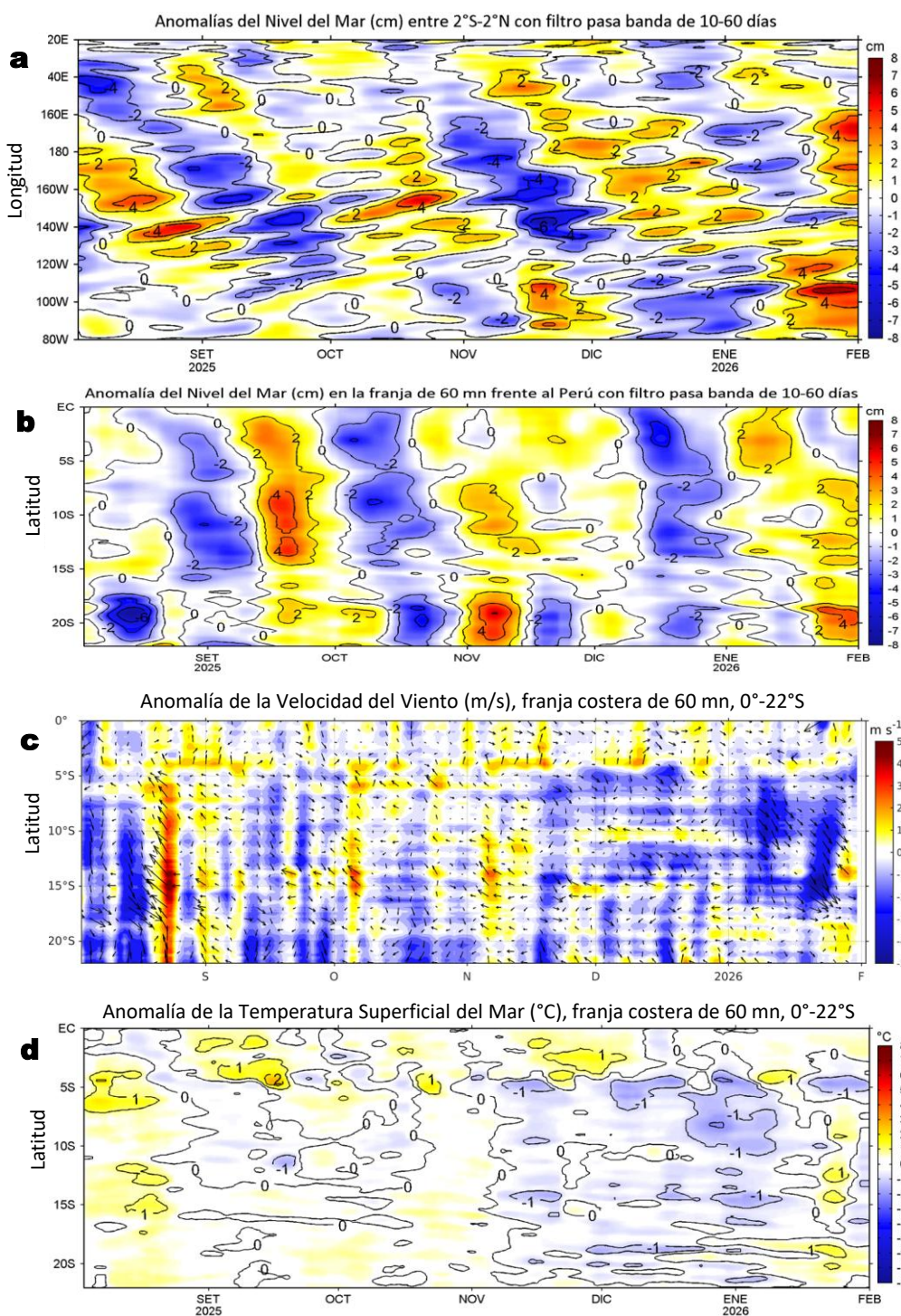
**Figura 3.** Distribución espacial promedio de: a) la velocidad (m/s) y dirección del viento (°) y b) anomalías de la velocidad (m/s) y dirección del viento (°) frente a la costa peruana del 26 de enero al 01 de febrero del 2026. La velocidad del viento y su anomalía se presentan en matices de colores a la derecha. La dirección del viento y su anomalía se presentan con flechas. Fuente de los datos: CMEMS. Climatología: 2000-2020.



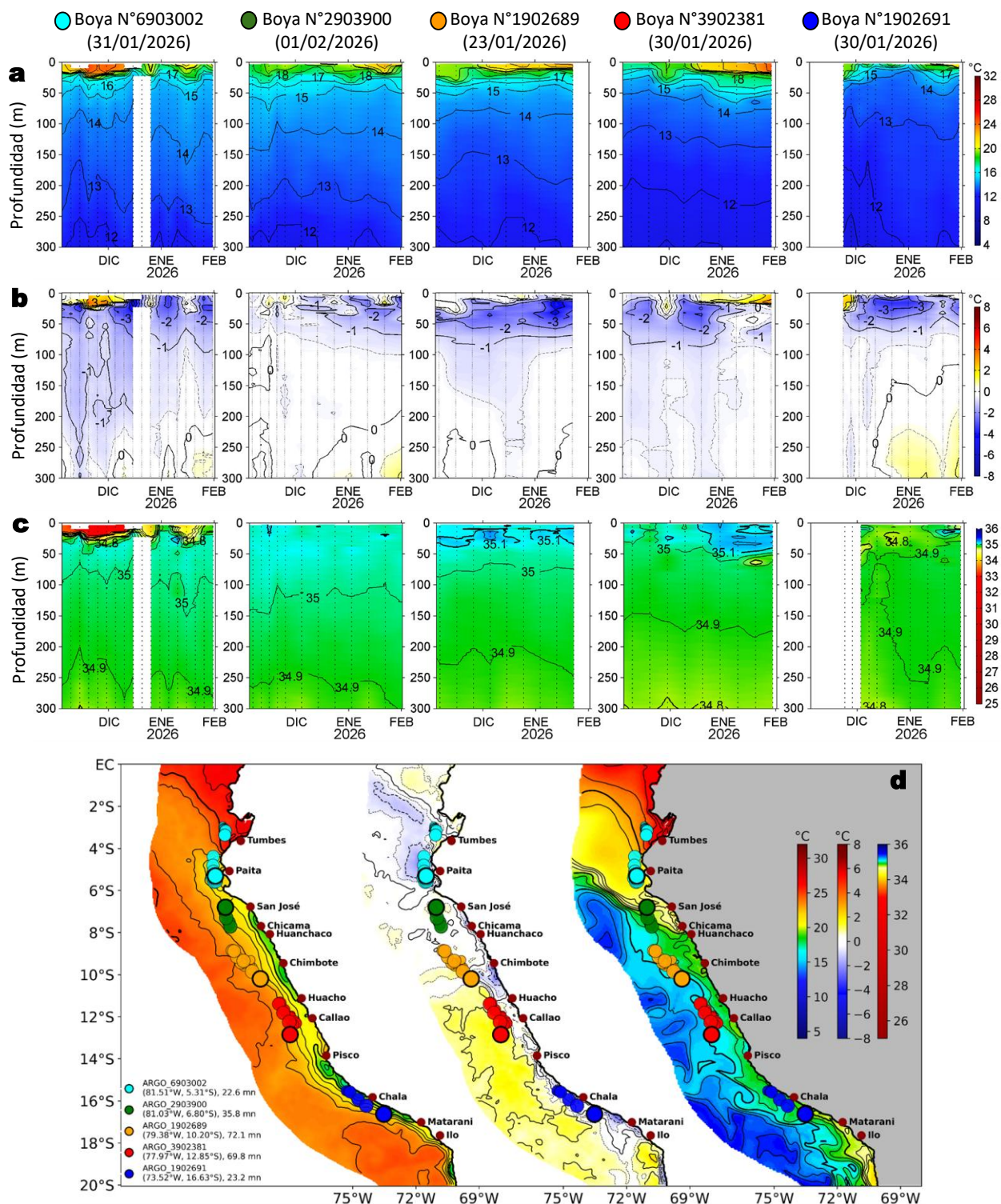
**Figura 4.** Distribución espacial promedio de la: a) Temperatura superficial del Mar (TSM, °C) y b) Salinidad superficial del mar (SSM) del 26 de enero al 01 de febrero del 2026. Datos: OSTIA-UKMO-L4-GLOB-v2.0 (UK Met Office, 2012; Donlon et al, 2012) para (a) y del GLOBAL\_ANALYSISFORECAST\_PHY\_001\_024 (Lellouche, J. M. et al, 2013) para (b).



**Figura 5.** Variación semanal de la TSM (°C) en el océano Pacífico tropical oriental entre: a) cuarta (19 - 25 de enero) y tercera (12 - 18 de enero) semana de 2026 y b) quinta (26 de enero - 01 de febrero) y cuarta (19 - 25 de enero) semana de 2026. Los mapas, que indican el grado de calentamiento o enfriamiento de una semana a otra, provienen de OSTIA-UKMO-L4-GLOB-v2.0 (UK Met Office, 2012; Donlon et al, 2012).

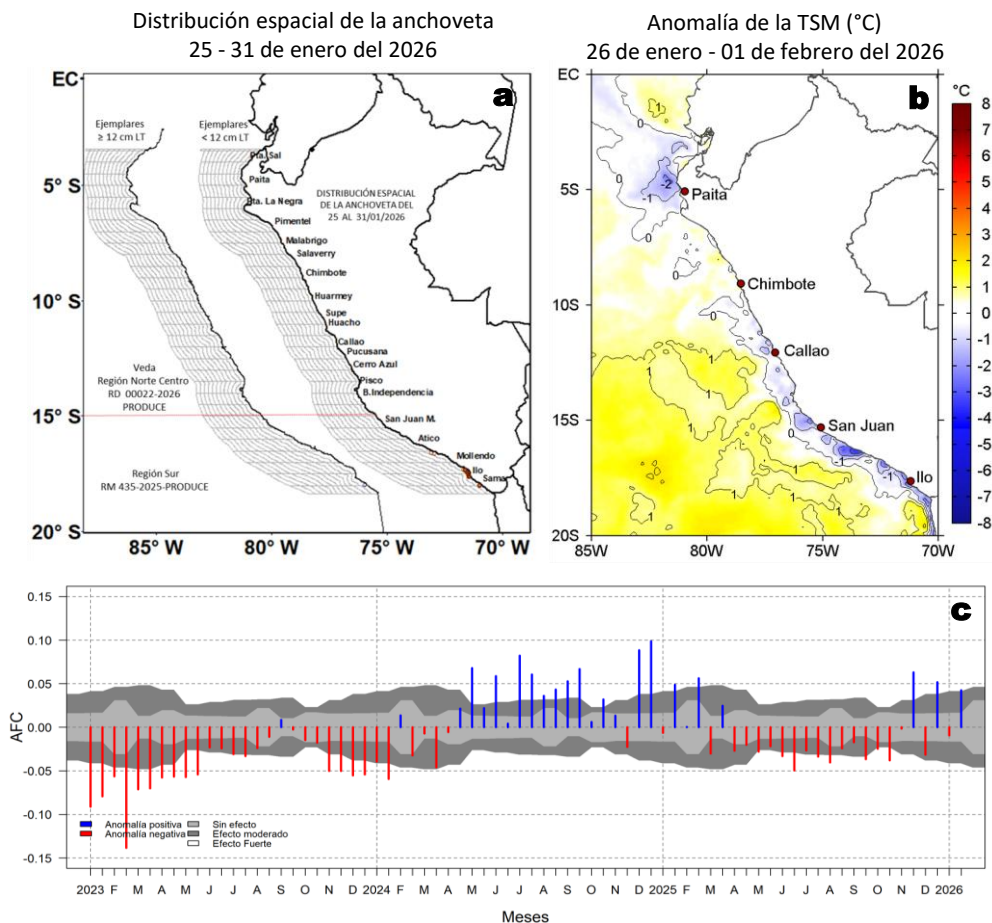


**Figura 6.** Evolución diaria de a) las anomalías del nivel del mar (cm) con filtro pasa banda de 10-60 días para la franja de 2°S-2°N en el Pacífico ecuatorial y b) la franja de 60 mn adyacente a la costa entre el ecuador geográfico y 22°S, así como para las anomalías de la c) velocidad del viento (m/s) y d) temperatura superficial del mar (°C); actualizadas al 01 de febrero del 2026. Datos: CMEMS (a, b y c) y OSTIA-UKMO-L4-GLOB-v2.0 para (d). Climatología: 1993-2020 (a y b), 2000-2020 (c) y 1991-2020 (d).



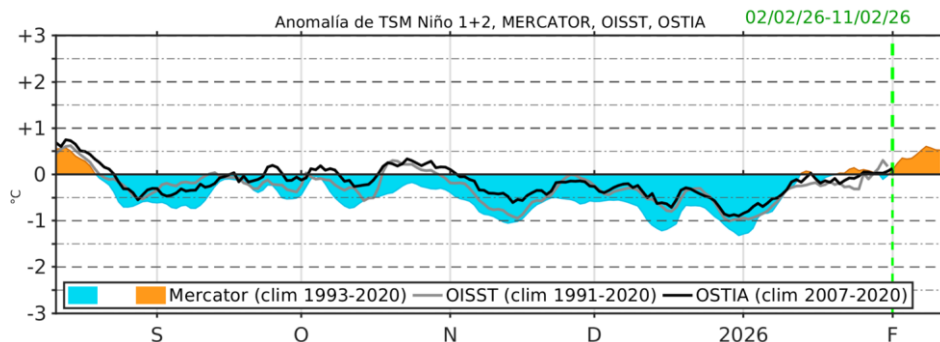
**Figura 7.** Diagrama Hovmöller de la: a) Temperatura del mar (°C), b) Anomalías térmicas (°C), c) Salinidad del mar registrados por los perfiladores ARGO frente a la costa peruana (d) durante los últimos 90 días. Los puntos en la columna de agua indican los días en que los perfiladores registraron información. Datos: ARGO. Climatología: 1991-2020 (Domínguez et al (2023)).

# ASPECTOS BIOLÓGICO-PESQUEROS



**Figura 8.** a) Distribución espacial de la anchoveta por región y su relación con b) las anomalías térmicas (°C) obtenidas del producto OSTIA-UKMO-L4-GLOB-v2.0; para la semana del 26 de enero al 01 de febrero del 2026. c) Serie de tiempo de las Anomalías del índice del factor de condición (AFC) de la anchoveta peruana *Engraulis ringens* (Cuba et al., 2019) desde enero 2023 hasta enero del 2026. Climatología: 1991-2020 (b).

## PRONÓSTICO



**Figura 9.** Series de tiempo de la anomalía de TSM diaria en la región Niño 1+2, obtenidas a partir del modelo MERCATOR (sombreado celeste y naranja), el producto OISST (línea gris) y el producto OSTIA (línea negra), a partir del promedio climatológico de 1993-2020, 1991-2020 y 2007-2020, respectivamente. La línea discontinua vertical de color verde indica la fecha de inicio del pronóstico de las anomalías de TSM según MERCATOR.



PERÚ

Ministerio de la Producción



PREMIO 2018 BUENAS PRÁCTICAS EN GESTIÓN PÚBLICA

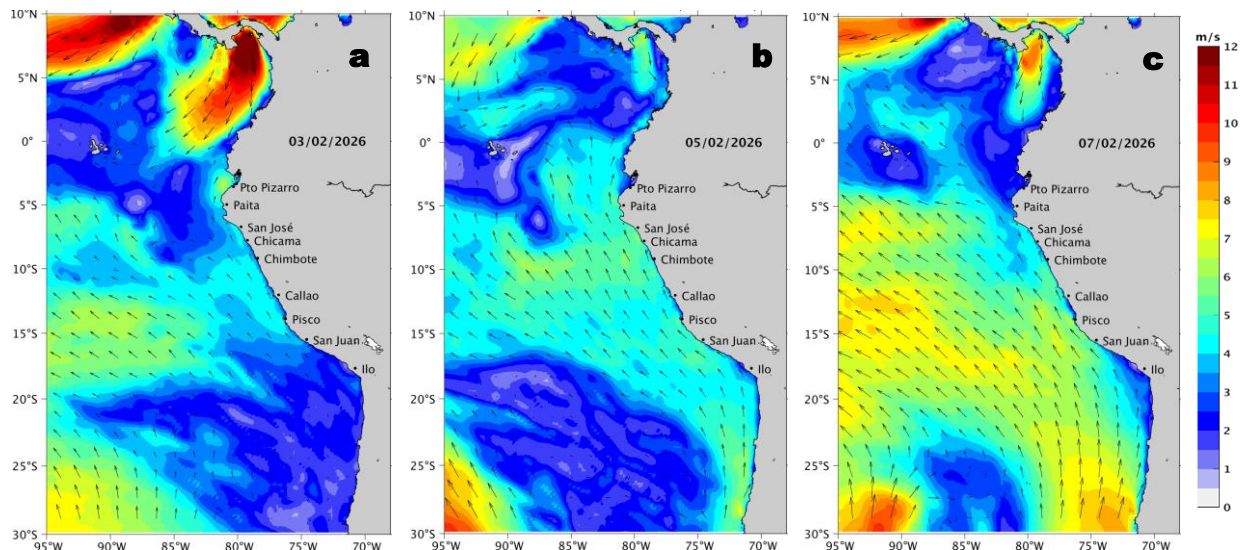


DGIOCC Dirección General de Investigaciones en Oceanografía y Cambio Climático

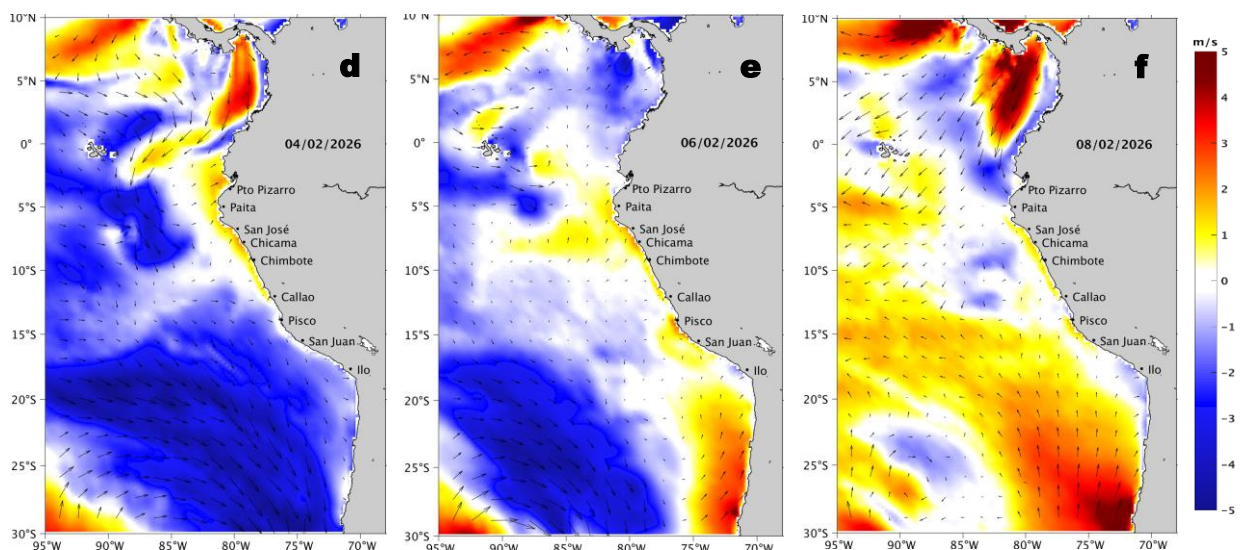


DGIRP Dirección General de Investigaciones de Recursos Pelágicos

Velocidad del Viento (VV, m/s) y Dirección del viento (DV, °)



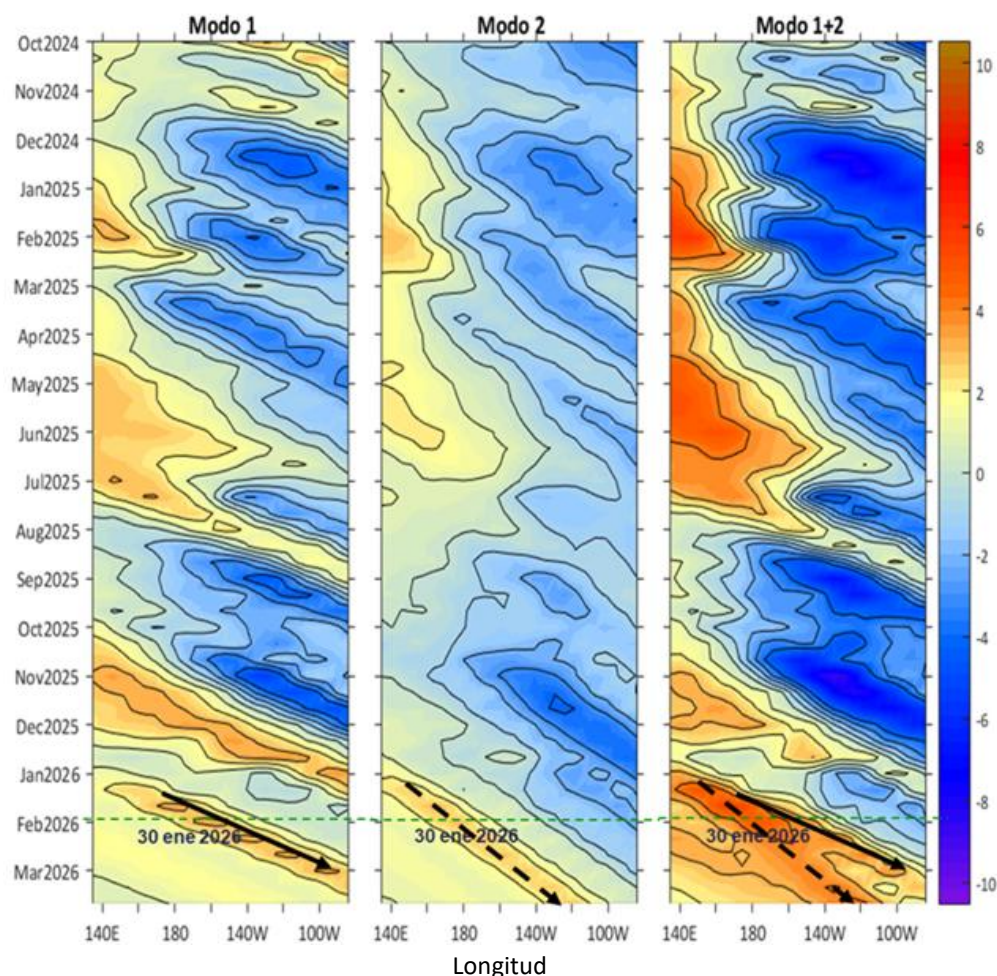
Anomalia de la Velocidad del Viento (VV, m/s) y Dirección del viento (DV, °)



**Figura 10.** Distribución espacial del pronóstico de la velocidad del viento (VV, m/s) y dirección del viento (DV, °) para los días a) 03, b) 05 y c) 07 de febrero de 2026, así como para sus anomalías para los días a) 04, b) 06 y c) 08 de febrero de 2026, frente a la costa sudamericana entre Centroamérica y la costa norte de Chile. Fuente: Modelo Climate Forecast System (GFS) de la NOAA. Climatología: 2000-2020.

Escala de vientos: Vientos muy débiles (< 0,7 m/s), débiles (0,7 a 4,1 m/s), moderados (4,1 a 6,8 m/s), fuertes (6,8 a 10,4 m/s), muy fuertes (> 10,4 m/s); de acuerdo a Correa, Vásquez y Gutiérrez (2018).

Condiciones iniciales: 21 - 30 de enero, 2026



**Figura 11.** Diagramas Hovmöller longitud-tiempo de las ondas Kelvin ecuatoriales (OKE) en el océano Pacífico ecuatorial entre 130°E y 95°W y en la banda entre 1°N-1°S, forzado con anomalías del esfuerzo del viento ( $N/m^2$ ) del NCEP (Kalnay et al., 1996) de acuerdo con la metodología de Illig et al. (2004) y Dewitte et al. (2002): a) Modo 1, b) Modo 2 y c) Modos 1+2. La línea discontinua horizontal de color verde indica la fecha del inicio del pronóstico con anomalías del esfuerzo del viento igual a cero. Los valores negativos corresponden a ondas Kelvin de afloramiento (frías) y están representadas por flechas discontinuas de color blanco. Los valores positivos corresponden a ondas Kelvin de hundimiento (cálidas) cuya propagación está representada por flechas de color negro sólido (modo 1) y discontinuo (modo 2). Datos del modelo: LMOECC/AFIOF/DGIOCC/IMARPE.

La última simulación del modelo de OK ecuatoriales implementado en el IMARPE, forzada con anomalías del esfuerzo del viento ecuatorial superficial obtenidas del NCEP al 30.01.2026, indica que el debilitamiento de los vientos alisios en la región oriental del Pacífico ecuatorial a fines de enero ha reforzado la señal de la OK ecuatorial cálida (modo 1), mencionada en el BS OBP N°03-2026, la cual alcanzaría el extremo oriental del Pacífico ecuatorial entre febrero y marzo. Asimismo, la persistencia de los pulsos de los vientos del oeste observados en el Pacífico ecuatorial occidental en enero ha reforzado la otra señal de la OK ecuatorial cálida (modo 2), también mencionada en el BS OBP N°03-2026, esperándose su arribo al extremo oriental del Pacífico ecuatorial entre abril y mayo de 2026 (modo 2).

# REFERENCIAS

Correa, D.; Vásquez, L. y D. Gutiérrez (2018). Propuesta de escala de vientos para la zona costera y oceánica frente al Perú. Taller interno del IMARPE, 24 de septiembre de 2018.

Cuba, A., Sánchez, J., Mori, J., & Chávez, G. (2019). Anomalías de los índices reproductivos fracción desovante e índice gonadosomático de anchoveta peruana *Engraulis ringens* (Jenyns, 1842) del stock norte-centro del Perú en relación a El Niño Costero 2017. *The Biologist*, 17(2).

Dewitte B., D. Gushchina, Y. du Penhoat and S. Lakeev, 2002: On the importance of subsurface variability for ENSO simulation and prediction with intermediate coupled models of the Tropical Pacific: A case study for the 1997-1998 El Niño. *Geoph. Res. Lett.*, vol. 29, no. 14, 1666, 10.1029/2001GL014452.

Donlon, C. J, M. Martin, J. Stark, J. Roberts-Jones, E. Fiedler, W. Wimmer, 2012. The Operational Sea Surface Temperature and Sea Ice Analysis (OSTIA) system. *Remote Sen. Env.*, 116, 140-158.

ENFEN, 2024. Definición operacional de los eventos El Niño Costero y La Niña Costera en el Perú. Nota Técnica. <https://enfen.imarpe.gob.pe/download/nota-tecnica-enfen-01-2024-definicion-operacional-de-los-eventos-el-nino-costero-y-la-nina-costera-en-el-peru/?wpdmdl=1905&ind=1733921744133>

Hobday, A. J., Alexander, L. V., Perkins, S. E., Smale, D. A., Straub, S. C., Oliver, E. C. J., ... Wernberg, T. (2016). A hierarchical approach to defining marine heatwaves. *Progress in Oceanography*, 141, 227–238. doi:10.1016/j.pocean.2015.12.014

Illig, S., B. Dewitte, N. Ayoub, Y. du Penhoat, G. Reverdin, P. De Mey, F. Bonjean and G. S. E. Lagerloef, 2004: Interannual Long Equatorial Waves in the Tropical Atlantic from a High Resolution OGCM Experiment in 1981-2000, *Journal of Geophysical Research*, 109, C02022, doi:10.1029/2003jc001771.

Kalnay, E., M. Kanamitsu, R. Kistler, W. Collins, D. Deaven, L. Gandin, M. Iredell, S. Saha, G. White, J. Woollen, Y. Zhu, A. Leetmaa, B. Reynolds, M. Chelliah, W. Ebisuzaki, W. Higgins, J. Janowiak, K. Mo, C. Ropelewski, J. Wang, R. Jenne, and D. Joseph, 1996: The NCEP/NCAR 40-Year Reanalysis Project. *Bull. Amer. Meteor. Soc.*, 77, 437–471.

Kobayashi S, Ota Y, Harada Y, Ebata A, Moriya M, Onoda H, Onogi K, Kamahori H, Kobayashi C, Endo H, Miyaoka K, Takahashi K (2015) The JRA-55 reanalysis: general specifications and basic characteristics. *J Meteor Soc Jpn* 93: 5–48.

Lellouche, J.-M., Le Galloudec, O., Drévilion, M., Régnier, C., Greiner, E., Garric, G., Ferry, N., Desportes, C., Testut, C.-E., Bricaud, C., Bourdallé-Badie, R., Tranchant, B., Benkiran, M., Drillet, Y., Daudin, A., and De Nicola, C.: Evaluation of global monitoring and forecasting systems at Mercator Océan, *Ocean Sci.*, 9, 57-81, 2013.

Perea, A., B. Buitrón, J. Mori, J. Sánchez, C. Roque, 2015. Anomalías de los Índices reproductivos de anchoveta *Engraulis ringens* en relación al ambiente. En: *Boletín Trimestral Oceanográfico*, Volumen 1, Números 1-4, pp.: 27-28.

Pietri, A., Colas, F., Mogollon, R., J. Tam & D. Gutierrez. Marine heatwaves in the Humboldt current system: from 5-day localized warming to year-long El Niños. *Sci Rep* 11, 21172 (2021). <https://doi.org/10.1038/s41598-021-00340-4>

Quispe Ccallauri, C, J. Tam, H. Demarcq, C. Romero, D. Espinoza, A. Chamorro, J. Ramos, R. Oliveros, 2016. El Índice Térmico Costero Peruano. En: *Boletín Trimestral Oceanográfico*, Volumen 2, Número 1, pp: 7-11.

Quispe-Ccalluari C, Tam J, Arellano C, Chamorro A, Espinoza-Morriberón D, Romero C, Ramos J. 2015. Desarrollo y aplicación de índices y simulaciones para la vigilancia y el pronóstico a mediano plazo del impacto del ENOS frente a la costa peruana. *Inf. Inst. Mar Perú*, Vol. 44(1):28-34. <https://biblioimarpe.imarpe.gob.pe/handle/20.500.12958/3149>

Quispe, J. y L. Vásquez, 2015. Índice “LABCOS” para la caracterización de evento El Niño y La Niña frente a la costa del Perú, 1976-2015. En: *Boletín Trimestral Oceanográfico*, Volumen 1, Números 1-4, pp.: 14-18.



PERÚ

Ministerio  
de la Producción



PREMIO 2018  
BUENAS PRÁCTICAS  
EN GESTIÓN PÚBLICA



# RECONOCIMIENTOS

The Group for High Resolution Sea Surface Temperature (GHR SST) Multi-scale Ultra-high Resolution (MUR) Level 4 OSTIA Global Foundation Sea Surface Temperature Analysis (GDS version 2). Ver. 2.0 data were obtained from the NASA EOSDIS Physical Oceanography Distributed Active Archive Center (PO.DAAC) at the Jet Propulsion Laboratory, Pasadena, CA (<http://dx.doi.org/10.5067/GHGMR-4FJ01>).

The Ssalto/Duacs altimeter products were produced and distributed by the Copernicus Marine and Environment Monitoring Service (CMEMS) (<https://data.marine.copernicus.eu/products>).

The products from the MERCATOR OCEAN system distributed through the Marine Copernicus Service (<https://data.marine.copernicus.eu/products>).

The Pacific Islands Ocean Observing System (PacIOOS) is funded through the National Oceanic and Atmospheric Administration (NOAA) as a Regional Association within the U.S. Integrated Ocean Observing System (IOOS). PacIOOS is coordinated by the University of Hawaii School of Ocean and Earth Science and Technology (SOEST).

Las anomalías del índice de factor de condición fueron determinadas a partir de información brindada por el Laboratorio de Biología Reproductiva de la sede central de IMARPE.

Este boletín es una acción del Programa Presupuesto Por Resultados - PPR 068 El Niño “Reducción de Vulnerabilidad y Atención de Emergencias por Desastres” y su producto “Entidades Informadas en forma permanente y con pronósticos frente al Fenómeno El Niño” del IMARPE.

## EQUIPO CIENTÍFICO

### Dirección General de Investigaciones en Oceanografía y Cambio climático (DGIOCC):

Katherine Vásquez, Luis Vásquez, Daniel Camarena, Tony Anculle, José Vílchez, Carlos Quispe y Gustavo Orihuela.

### Dirección General de Investigaciones de Recursos pelágicos (DGIRP):

Cecilia Roque, Dany Ulloa, Gabriela Cazorla y Cecilia Peña.

El Boletín Semanal Oceanográfico y Biológico-Pesquero (BS-OBP) presenta la evolución de variables físicas en el océano y la atmósfera, de la estructura físico-química del océano frente a la costa norte-centro del Perú en un contexto temporal de corto plazo y en un marco local-regional. El objetivo del BSOBP es comprender los efectos de la variabilidad de macroescala y regional de corto plazo en las condiciones oceanográficas y biológico-pesqueras del mar peruano. Esta información se sustenta en las redes observacionales in situ que administra el IMARPE y que se ha fortalecido en el marco del Programa Presupuesto Por Resultados - PPR 068 El Niño “Reducción de Vulnerabilidad y Atención de Emergencias por Desastres” y su producto “Entidades Informadas en forma permanente y con pronósticos frente al Fenómeno El Niño” del Estado Peruano. Asimismo, esta información local se complementa con un repertorio de productos satelitales y con mediciones directas de equipamiento de programas y proyectos internacionales con el fin de lograr un análisis integrado del estado del océano.

El BS-OBP, asimismo, pretende informar de forma oportuna y permanente sobre el estado del océano a diferentes grupos de interés y sociedad en general y contribuir a mejorar el conocimiento del mar peruano y coadyuvar a la gestión del riesgo de desastres del Estado Peruano.

IMARPE (2026). Boletín Semanal Oceanográfico y Biológico-Pesquero N°05-2026, 26 de enero - 01 de febrero de 2026, Callao, Instituto del Mar del Perú. <https://siofen.imarpe.gob.pe/boletines-e-informes/BS-OBP>

**Suscripciones:** Complete [este formulario](#) o escriba al correo electrónico [siofen@imarpe.gob.pe](mailto:siofen@imarpe.gob.pe).

#### Consultas:

Servicio de Información Oceanográfica del Fenómeno El Niño, SIOFEN

Laboratorio de Hidrofísica Marina/AFIOF

Dirección General de Investigaciones Oceanográficas y Cambio Climático/Instituto del Mar del Perú

Esquina Gamarra y General Valle S/N, Chucuito, Callao - Perú. Teléfono: (51 1) 904 0137 (Extensión 824).

**Foto en la portada:** Mar peruano (©IMARPE)

© 2026 Instituto del Mar del Perú



**IMARPE**  
INSTITUTO DEL MAR DEL PERÚ

**SIOFEN** SERVICIO DE INFORMACIÓN OCEANOGRÁFICA DEL FENÓMENO EL NIÑO



PERÚ

Ministerio  
de la Producción



PREMIO 2018  
BUENAS PRÁCTICAS  
EN GESTIÓN PÚBLICA



DGIOCC  
Dirección General de Investigaciones  
en Oceanografía y Cambio Climático



DGIRP  
Dirección General de Investigaciones  
de Recursos Pelágicos